

УДК 621.315.592

© 1990

## ЭЛЕКТРИЧЕСКИЕ И МАГНИТНЫЕ СВОЙСТВА $\text{La}_2\text{Cu}_{1-x}\text{Ni}_x\text{O}_{4+\delta}$

*И. Г. Михайлов, А. Е. Морозовский, С. К. Толыго, С. К. Ющенко*

Сообщаются результаты исследования электросопротивления и магнитной восприимчивости соединений  $\text{La}_2\text{Cu}_{1-x}\text{Ni}_x\text{O}_{4+\delta}$ . Экспериментальные данные обсуждаются на основе общего подхода к легированным полупроводникам.

В последнее время большой интерес представляют исследования соединения  $\text{La}_2\text{CuO}_4$  в связи с его необычными магнитными свойствами и их возможной взаимосвязью с механизмом высокотемпературной сверхпроводимости.  $\text{La}_2\text{CuO}_4$  является квазидвумерным четырехподрешеточным антиферромагнетиком [1, 2], в котором скос спинов из плоскостей  $\text{CuO}_2$  (в направлении оси  $C_4$ ) обусловлен антисимметричным обменом. Его возникновение связывается с поворотами  $\text{CuO}_6$  октаэдров ниже точки структурного перехода [1, 2]. Введение небольшого количества носителей (дырок) путем легирования щелочноземельными элементами или избыточным кислородом приводит к разрушению дальнего антиферромагнитного порядка, хотя даже в сверхпроводящих составах при этом сохраняются сильные антиферромагнитные спиновые корреляции [3]. В связи с этим широко обсуждается вопрос о природе возникающих при легировании носителей и о их фрустирующем действии [4–7]. Рассматриваются две возможности. Согласно первой, восходящей к Мотту и Гудинафу, легирование приводит к возникновению дырок (состояний  $\text{Cu}^{3+}$ ) в нижней хаббардовской подзоне  $d$ -зоны меди. Согласно второй, восходящей к Адлеру и Фейнлейбу [8, 9], дырки возникают в 2– $p$ -полосе кислорода (состояния  $\text{O}^-$ ), потолок которой лежит выше потолка нижней (заполненной)  $d$ -подзоны. Несмотря на то что в целом общественное мнение склоняется ко второй схеме, дальнейшие экспериментальные исследования представляются желательными. В частности, можно предположить, что роль  $d$ -дырок может быть прояснена путем замены Cu на Ni, поскольку конфигурация  $\text{Ni}^{+2}$  тождественна  $\text{Cu}^{+3}$ . Система  $\text{La}_2\text{Cu}_{1-x}\text{Ni}_x\text{O}_{4+\delta}$  исследовалась ранее [10], однако только в области составов, богатых Ni.

В настоящей работе мы сообщаем результаты исследования электрических и магнитных свойств поликристаллических образцов  $\text{La}_2\text{Cu}_{1-x}\text{Ni}_x\text{O}_{4+\delta}$  при  $x=0-0.15$ .

Образцы синтезировались по стандартной технологии из смеси окислов  $\text{La}_2\text{O}_3$ ,  $\text{Cu}_2\text{O}$ ,  $\text{NiO}$  при температуре 920 °C. С целью гомогенизации проводилось трехкратно повторяемое перемалывание, перемешивание, прессование и спекание. Для достижения стехиометрии по кислороду проводился окончательный длительный (40–60 ч) отжиг при 800 °C на воздухе с последующей закалкой образцов, что позволяет предположить постоянство величины  $\delta$  для серии образцов, полученных в одинаковых условиях.

# 1. Результаты

Зависимости электросопротивления  $\text{La}_2\text{Cu}_{1-x}\text{Ni}_x\text{O}_{4+\delta}$  имеют полуупрощенный характер, их типичные примеры показаны на рис. 1. В области температур ниже комнатной хорошо видна экспоненциальная зависимость  $\rho = \rho_0 \exp(\Delta/T)$ , которая при низких температурах сменяется законом Мотта  $\rho \sim \exp(T_0/T)^{1/4}$ . Мы наблюдали закон Мотта для электросопротивления образцов с  $x \leq 0.01$ , однако ничего нельзя сказать о его справедливости при низких температурах для составов с  $x > 0.01$ , поскольку эта область осталась недоступной из-за высокого сопротивления образцов.

Зависимость энергии активации проводимости от концентрации никеля показана на рис. 2. Видно, что происходит резкое,

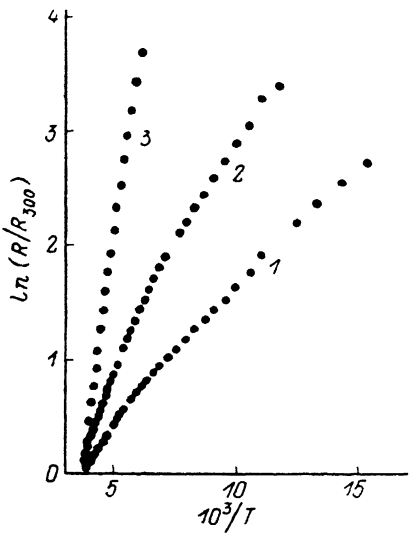


Рис. 1. Температурная зависимость электросопротивления  $\text{La}_2\text{Cu}_{1-x}\text{Ni}_x\text{O}_{4+\delta}$ .  
 $x$ : 1 — 0.05, 2 — 0.01, 3 — 0.04.

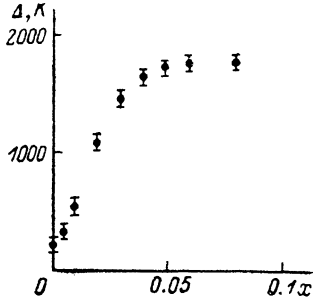


Рис. 2. Зависимость энергии активации проводимости от концентрации никеля  $x$ .

почти десятикратное, увеличение  $\Delta$  при малых  $x$  и выход на насыщение при  $x \geq 0.04$ .

На рис. 3 показаны температурные зависимости магнитной восприимчивости  $\chi$  образцов с различными  $x$ . Максимум в зависимости  $\chi(T)$  соответствует температуре Нееля  $T_N$ . Отметим, что при малых  $x$  введение никеля не приводит к качественным изменениям зависимости  $\chi(T)$ , а только изменяет  $T_N$ . Для  $x \geq 0.03$  зависимости  $\chi(T)$  изменяются качественно — максимум исчезает, а сама восприимчивость растет с ростом концентрации никеля. Тем не менее имеется хорошо определенная температура, которую будем по-прежнему обозначать  $T_N$ , где происходит излом зависимости  $\chi(T)$ . Нельзя однозначно ответить, какое состояние реализуется ниже этой температуры — с дальним антиферромагнитным порядком, сильно разупорядоченное или состояние типа спинового стекла. Во всяком случае, в области составов  $0.04 \leq x \leq 0.08$  мы наблюдали различие в зависимости  $\chi(T)$  ниже точки излома для образца, охлажденного в магнитном поле и без поля, однако этот вопрос нуждается в дальнейшем изучении.

Зависимость  $T_N$  от  $x$  представлена на рис. 4. Обращает на себя внимание первоначальное увеличение  $T_N$  с ростом концентрации никеля.

Зависимости  $\chi(T)$  для  $T > T_N$  при  $x < 0.03$  не описываются законом Кюри—Вейсса, скорее они близки к закону  $\chi(T) = \chi_0 + A \exp(\alpha/T)$ , за исключением области непосредственно вблизи  $T_N$ . При этом величина  $\chi_0 \approx 1.5 \cdot 10^{-7} \text{ см}^3/\text{г}$ , а величина  $\alpha = 1.8 \cdot 10^3 \text{ К}$ .

## 2. Обсуждение результатов

**Электросопротивление.** Для того чтобы понять роль легирования никелем, остановимся сначала на свойствах  $\text{La}_2\text{CuO}_4$ . Его электросопротивление при высоких температурах имеет металлический характер, однако при понижении  $T$  меняется активационной зависимостью

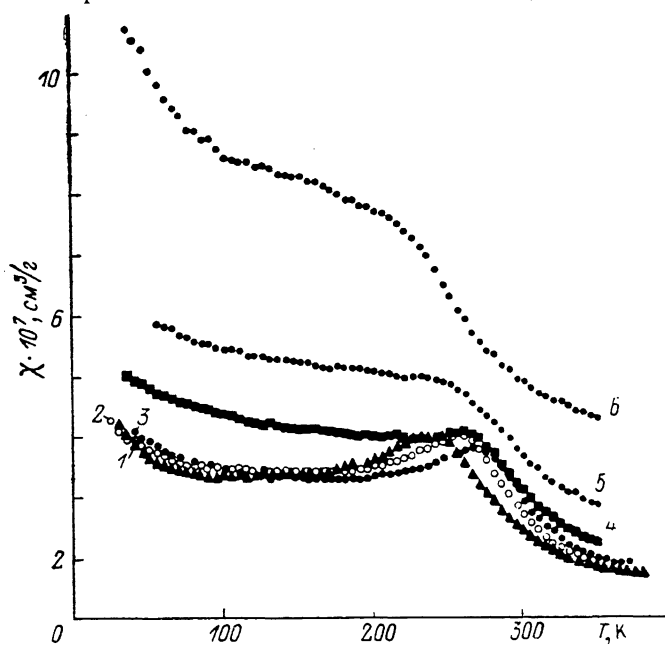


Рис. 3. Температурные зависимости магнитной восприимчивости  $\text{La}_2\text{Cu}_{1-x}\text{Ni}_x\text{O}_{4+\delta}$ .  
x: 1 — 0.05, 2 — 0.01, 3 — 0.02, 4 — 0.03, 5 — 0.04, 6 — 0.08.

и далее законом Мотта [11]. Температуры перехода от одной зависимости к другой и величины энергии активации чувствительны к содержанию кислорода в соединении. Это характерно для легированного полупроводника. Акцепторной примесью в  $\text{La}_2\text{CuO}_4$ , по-видимому, является избыточный кислород, концентрация которого зависит от температуры и давления кислорода при отжиге. Нашим условиям получения образцов соответствует состав  $\text{La}_2\text{CuO}_{4+\delta}$  с  $\delta \approx 0.015$  [12]. При такой концентрации акцепторов следует ожидать возникновения достаточно узкой примесной зоны. Хаотический потенциал примесей приводит к локализации состояний. Энергия активации проводимости в этом случае есть расстояние от уровня Ферми  $E_F$  до порога подвижности  $E_c$ , который может располагаться в валентной полосе. Переход от активационной проводимости к металлической будет происходить при  $T > E_c - E_F$ , что соответствует результатам [10, 11]. Картина изменения электрических свойств  $\text{La}_2\text{CuO}_{4+\delta}$  при замещении La на двух- или четырехвалентный элемент в такой ситуации исследована в [11, 13].

Таким образом, если принять концепцию p-дырок, то формулу  $\text{La}_2\text{CuO}_{4+\delta}$  можно представить в виде  $\text{La}_2^{+3}\text{Cu}^{+2}\text{O}_{4-\delta}^{2-}\text{O}_{2\delta}^{-}$ , из которой видно, что их концентрация есть  $2\delta$  на формульную единицу.

Соединение  $\text{La}_2\text{NiO}_{4+\delta}$  имеет качественно те же электрические свойства, что и  $\text{La}_2\text{CuO}_{4+\delta}$ , поэтому представляется заманчивым применять к нему изложенную выше схему, а не модель, предложенную в [10, 14]. Единствен-

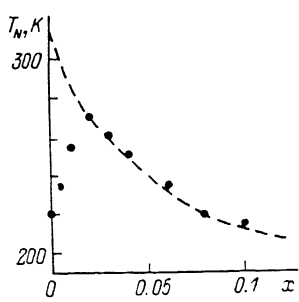


Рис. 4. Зависимость температуры Нееля  $T_N$  от концентрации никеля  $x$ .

ное отличие состоит в том, что энергия активации для проводимости в  $\text{La}_2\text{NiO}_{4+\delta}$  больше, составляет около 10<sup>3</sup> К и, согласно [15], слабо зависит от  $\delta$  в диапазоне  $\delta=0.005 \pm 0.1$ .

Учитывая сильную гибридизацию  $O_{2p}$  и 3d-состояний в окислах переходных металлов, возможно, лучше говорить не о p- или d-дырках, а о центрах типа  $(\text{CuO})^+$  или  $(\text{NiO})^+$ . Тогда замещение меди на никель следует рассматривать как изъятие «молекулы»  $\text{CuO}$  (или октаэдра  $\text{CuO}_6$ ), приводящее к сужению заполненной гибридизованной p-d-зоны, и внесение «молекулы»  $\text{NiO}$  (октаэдра  $\text{NiO}_6$ ).

Теперь для того чтобы объяснить возрастание энергии активации проводимости, достаточно предположить, что примесный уровень  $\text{NiO}$  лежит выше потолка  $\text{CuO}$ -зоны и выше уровня акцепторов. Тогда действие Ni похоже на компенсацию акцепторов донорами в полупроводниках — дырки в  $\text{CuO}$ -зоне будут заполняться электронами с уровня  $\text{NiO}$  с образованием состояний  $(\text{NiO})^+$ . Это будет приводить к повышению  $E_F$  и увеличению разности  $E_c - E_F$ . Иными словами, с ростом концентрации Ni дырки, которые могли перемещаться по  $\text{CuO}_6$ -октаэдрам, будут захватываться вблизи примесных  $\text{NiO}_6$ -октаэдров. Тогда при  $x \approx 2\delta$  мы будем иметь энергию активации для проводимости, близкую к  $\text{La}_2\text{NiO}_{4+\delta}$ , т. е.  $\Delta \geq 1000$  К, что с учетом указанного выше значения  $\delta=0.015$  хорошо согласуется с экспериментом (рис. 2).

Магнитная восприимчивость. Температура Нееля  $\text{La}_2\text{CuO}_{4+\delta}$  резко уменьшается с ростом  $\delta$ , обращаясь в пуль при  $\delta \approx 0.02 - 0.03$ . Максимальное значение  $T_N = 315$  К [16] соответствует, по-видимому, значениям  $\delta$ , близким к нулю. То же самое справедливо и для  $\text{La}_2\text{NiO}_{4+\delta}$ , где для  $\delta \approx 0.005$   $T_N = 204$  К [14], хотя детальных данных по зависимости  $T_N(\delta)$  для  $\text{La}_2\text{NiO}_{4+\delta}$  нам неизвестно.

Если, как было рассмотрено выше, замещение Cu на Ni при малых  $x$  уменьшает концентрацию (или) подвижность дырок, то это в определенном смысле эквивалентно уменьшению  $\delta$ , поэтому  $T_N(\text{La}_2\text{Cu}_{1-x}\text{Ni}_x\text{O}_{4+\delta})$  первоначально будет увеличиваться, приближаясь к  $T_N$  для  $\text{La}_2\text{CuO}_4$ . С другой стороны, поскольку  $T_N$  в  $\text{La}_2\text{NiO}_4$  меньше, чем в  $\text{La}_2\text{CuO}_4$ , в твердых растворах  $\text{La}_2\text{Cu}_{1-x}\text{Ni}_x\text{O}_{4+\delta}$  следует ожидать уменьшения  $T_N$  с ростом  $x$ . Суперпозиция растущей с  $x$  и падающей зависимости дает кривую с максимумом в соответствии с экспериментом (рис. 4).

Вторым интересным моментом является исчезновение с ростом  $x$  максимума на зависимости  $\chi$  от  $T$  при  $T=T_N$ . Согласно [1], его возникновение связано с экспоненциальным парастасием с понижением температуры радиуса двумерных спиновых корреляций  $\xi_{2D}$  и существованием слабого ферромагнитного момента у  $\text{CuO}_2$ -плоскостей. Введение в двумерную систему спинов  $s=1/2$  примесных спинов никеля с  $s=1$  может ограничивать  $\xi_{2D}$  масштабом среднего расстояния между примесями. В результате соответствующая восприимчивость в [1] не будет иметь расходимости в  $T_N$ .

С другой стороны, существование ферромагнитного момента у  $\text{CuO}_2$ -плоскости связано с кооперативными поворотами  $\text{CuO}_6$ -октаэдров ниже точки структурного перехода. Можно предположить, что локальные упругие поля примесей препятствуют структурному переходу или по крайней мере делают повороты октаэдров хаотическими (во всяком случае, согласно [10], соединения  $\text{La}_2\text{Cu}_{1-x}\text{Ni}_x\text{O}_{4+\delta}$  с  $x \geq 0.09$  являются тетрагональными). Это должно приводить к исчезновению плоскостного ферромагнитного момента и, как следствие, максимума в  $\chi(T)$ .

Авторы признательны С. М. Рябченко и В. М. Локтеву за полезные обсуждения.

#### Список литературы

- [1] Thio T., Thurston T. R., Preyer N. W. e. a. // Phys. Rev. B. 1988. V. 38. N 1. P. 905—908.
- [2] Барыяхтар В. Г., Локтев В. М., Яблонский Д. А. // Препринт Ин-та теоретической физики. 1988. № 81Р. 25 с.
- [3] Birgeneau R. J., Endoh Y., Hidaka Y. e. a. // Preprint MTI. 1988. 10 р.
- [4] Anderson P. W. // Science. 1987. V. 235. N 10. P. 1196—1198.

- [5] Emery V. J. // Phys. Rev. Lett. 1987. V. 58. N 26. P. 2794—2797.
- [6] Aharony A., Birgeneau R. J., Coniglio A. // Phys. Rev. Lett. 1988. V. 60. N 3. P. 1130—1133.
- [7] Дзялошинский И. Е. // Письма в ЖЭТФ. 1988. Т. 47. № 12. С. 650—653.
- [8] Feinleib J., Adler D. // Phys. Rev. Lett. 1968. V. 21. N 14. P. 1010—1013.
- [9] Adler D., Feinleib J. // J. Appl. Phys. 1969. V. 52. N 3. P. 1586—1588.
- [10] Singh K. K., Ganguly P., Coodenough J. B. // J. Sol. St. Chem. 1984. V. 52. N 3. P. 254—273.
- [11] Михайлов И. Г., Моисеев Д. П., Толпыго С. К. // ФНТ. 1987. Т. 13. № 9. С. 985—988.
- [12] Schirber J. E., Morozin B., Merrill R. M. e. a. // Physica C. 1988. V. 152. N 1. P. 121—123.
- [13] Михайлов И. Г., Морозовский А. Е., Толпыго С. К. // ФНТ. 1989. Т. 15. № 1. С. 79—82.
- [14] Buttrey D. J., Honig J. M., Rao C. N. R. // J. Sol. St. Chem. 1986. V. 64. N 3. P. 287—295.
- [15] Honig J. M., Buttrey D. J. // Localization and metalinsulator transitions. 1985. Р. 409—418.
- [16] Бондарь А. В., Лыфарь Д. Л., Михайлов И. Г. и др. // Тез. докл. XVIII Всес. конф. по физике магнитных явлений. 1988. С. 31—32.

Институт металлофизики АН УССР  
Киев

Поступило в Редакцию  
23 августа 1989 г.